

ホローカソード CF₄ プラズマ中の CF₃, CF₂ ラジカル測定

藤岡 寛之¹・真篠 聰一¹・愛敬 仁¹・後藤 みき²・荒井 俊彦²

¹ 電気工学専攻修士課程

² 電気電子工学科

Measurement of CF₃ and CF₂ Radicals in a Hollow Cathode CF₄ Plasma

Hiroyuki FUJIOKA, Souichi MASHINO,
Satoshi AIKYO, Miki GOTO and Toshihiko ARAI

Abstract

Neutral CF₃ and CF₂ radicals in a hollow cathode dc CF₄ discharge have been first measured under various discharge currents and CF₄ pressures with a quadrupole mass spectrometer, using the threshold ionization technique. It has been found that the CF₃ and CF₂ radical densities were higher than that obtained for other types of discharges.

Keywords : Etching plasma, Hollow cathode discharge, CF₄ plasma, CF₃ radical, CF₂ radical, Mass spectrometry

1. まえがき

シリコン集積回路プロセス技術は、高度情報化社会を支えている最も重要な基盤技術である。この微細加工として、rf 励起プラズマを用いたドライエッチングが利用されている。CF₄放電の場合、電子衝突解離によりFだけでなくCF₃、CF₂、CFなどができる。これらのラジカルがエッ칭に関与していると考えられており、エッチング機構解明のため、レーザー誘起蛍光法^{1~4)}、赤外線半導体レーザー吸収法⁵⁾、しきい値イオン化質量分析法^{6,7)}などによるラジカルの測定がなされている。

ところで負グローを用いたホローカソードプラズマは陽光柱グロープラズマと比較して、高密度で高いエネルギー電子を数多く含有するなどの特徴があり⁸⁾、今まで分析、分光の光源やレーザーなどとして、またイオン源として利用することも開発されている。このホローカソードプラズマの特徴を積極的に利用することにより、プラズマエッチングの励起源として有用と考えられる。しかし、ホローカソードプラズマ中のラジカル測定はまだ知られていない。

そこで、本研究ではしきい値イオン化質量分析法を用い、ホローカソードCF₄直流プラズマ中のCF₃,

CF₂ラジカルを測定し、陽光柱プラズマで得られた結果⁹⁾と比較を行ったので報告する。

2. 装置及び測定方法

Fig. 1に、本研究に使用した測定装置の概略図を示す。測定に使用した放電管は、管径3cm、長さ19.5cmのステンレス製円筒形陰極に、直径1mm、長さ1.5cmのタンクステン製ピンアノードを、間隔22cmで二本取り付けたものを使用した。粒子種採取のためのエキストラクターは、直径8mm、長さ15cmのパイレックスガラス製で、その先端のオリフィスのホール径は200μmにし、管軸上(1.5cm)の粒子をサンプリングした。そして、質量分析計(QMS)にターボ分子ポンプを接続し差動排気を行った。これにより、放電管内と分析管内に圧力差を作り、オリフィスを通してプラズマ中のラジカルをイオン化室へ導き、質量分析器で検出した。また、オリフィスを通してプラズマ中から入射てくるイオンを除去するために、分析管と放電管の接合部にマグネット(400G)を設置した。実験は毎回、O₂、Ar放電で放電管をクリーニングしてから測定を行った。電子ビームエネルギーE_eは、Arのイオン化しきい値(15.75eV)を用いて校正された。

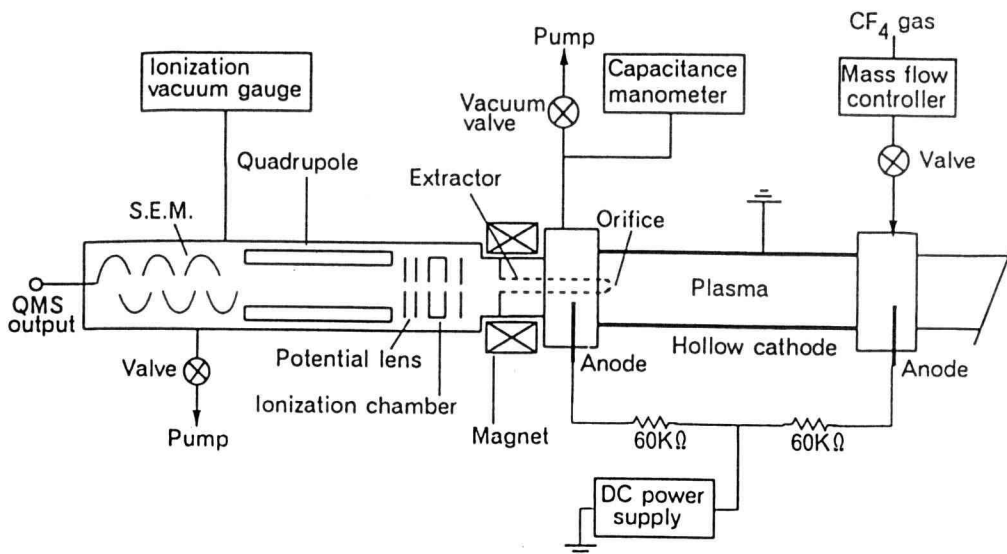


Fig.1. Schematic diagram of experimental arrangements.

測定は放電電流によるホローカソードの熱の問題が生じない(350K以下)電流領域(20mA~50mA)で行い、CF₄ガス圧力は0.2Torrから0.6Torrまで変化させた。CF₄ガス流量はマスフローコントローラーを用い10sccm一定とした。

3. 実験結果と考察

Fig. 2, 3は、QMSイオンソースで用いた電子ビームエネルギーE_eの関数としたCF₃⁺(m/e=69)、CF₂⁺(m/e=50)に対するQMS出力の片対数表示を示している。しきい値イオン化質量分析法は、親分子とラジカルの電子衝突電離におけるしきい値エネルギーの数eVの差を利用して、ラジカル量を測定するものである。放電がoffの場合、CF₄の電子衝突電離が、それぞれの解離イオン化しきい値E₃=16.3eV(CF₄→CF₃⁺)、E₂=21.0eV(CF₄→CF₂⁺)以上のエネルギーでフラグメントイオンCF₃⁺、CF₂⁺を生じる。Fig. 2, 3ともに、放電off(closed circle)で得られたデータは、しきい値E₃、E₂以下でそれぞれ残留信号が検出された。多分これは、不純ガスの解離によるものと思われる。また放電on(open circle)で得られたデータは、CF₄の解離イオン化におけるしきい値(E₃, E₂)以下のエネルギー領域でhumpを持つ。このhumpは、プラズマで生成されたCF₃、CF₂ラジカルの電子衝突電離に起因している。さらにラジカル電離のしきい値はE_{3'}=10.4eV(CF₃→CF₃⁺)、E_{2''}=12.0eV(CF₂→CF₂⁺)である。しきい値イオン化法において、四重極型質量分析計の出力はラジカル量に比例し、式(1)のように示される⁶⁾。

$$I_{QMS} = \alpha \beta I_{\infty} \cdot \sigma_{CFx}(E_e) [CF_r] \quad (1)$$

ここで、[CF_r]はプラズマ中のCF_r密度、αはオリフィスの真空コンダクタンス、βはQMSの感度、I_∞は電子ビーム電流、σ_{CFx}(E_e)は電子ビームエネルギーの関数としたCF_x→CF_x⁺の解離イオン化電離断面積である。α β I_∞=Aとおくと次式のように変形できる。

$$\frac{-\Delta I_{QMS}}{\Delta E_e} = A [CF_r] \quad \frac{\Delta \sigma_{CFx}(E_e)}{\Delta E_e} \quad (2)$$

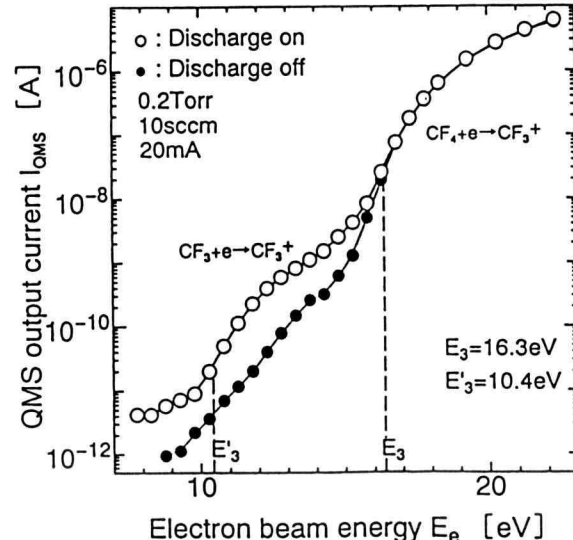


Fig.2. Quadrupole mass spectrometer output current for CF₃⁺ (m/e=69) as a function of electron beam energy, with the discharge on (open circles) and the discharge off (closed circles). The vertical axis was a semilogarithmic scale.

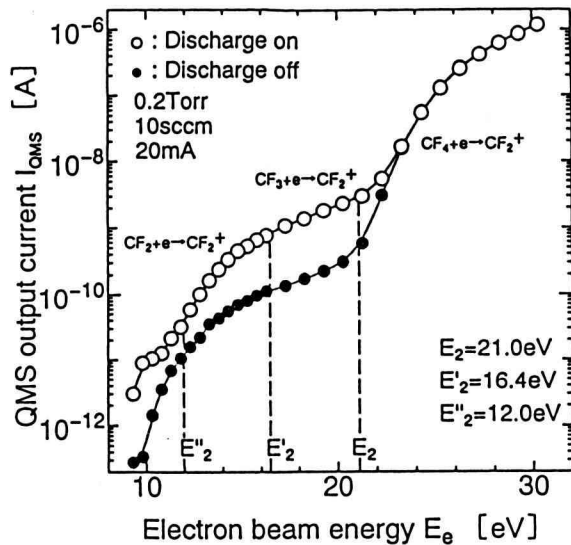


Fig.3 Quadrupole mass spectrometer output current for CF_2^+ ($m/e=50$) as a function of electron beam energy, with the discharge on (open circles) and the discharge off (closed circles). The vertical axis was a semilogarithmic scale.

ここで、親ガス CF_4 の密度は状態方程式から $[CF_4] = 6.04 \times 10^{15} \text{ cm}^{-3}$ (0.2Torr, 320K) となる。式(2)に、 $[CF_4]$ と Fig. 2, 3 の E_3 , E_2 以上をリニアスケールにプロットした傾き $\Delta I_{QMS} / \Delta E_e$ と、それに対応する解離イオン化電離断面積の電子エネルギー依存性のデータの傾き $\Delta \sigma_{CFx}(E_e) / \Delta E_e$ をそれぞれ代入することにより、定数 A を決定することができる。この得られた定数 A を使用し Fig. 2 の $E_3' - E_3$ 、及び Fig. 3 の $E_2'' - E_2$ 間の放電 on から放電 off を引いた出力電流と CF_3 , CF_2 ラジカル電離のイオン化断面積^{10, 11)}をそれぞれ用いて式(2)から CF_3 , CF_2 ラジカルの密度を決定した。

Fig. 4 は CF_4 壓力 0.2Torr のとき CF_3 , CF_2 ラジカル密度の放電電流依存性を示す。 CF_3 , CF_2 ラジカル密度は放電電流と共に直線的に増加し、 CF_3 ラジカル密度は CF_2 ラジカル密度より約 2 倍大きい。これは電流と共に電子は増加し、また親ガス CF_4 からの電子衝突解離電圧が CF_2 (15eV) より CF_3 (12.5eV) の方が低いことによる。

Fig. 5 は放電電流 20mA のとき CF_3 , CF_2 ラジカル密度の CF_4 壓力依存性を示す。 CF_3 ラジカル密度は圧力とともに増加していく傾向を示すのに対し、 CF_2 ラジカル密度は 0.3Torr でピークを持ち、その後減少していく傾向を示した。圧力が低いとき、 CF_2 ラジカルはプラズマの気相中で生成され、拡散により管壁で再結合し損失する。圧力が高くなにつれて CF_x ($x=1 \sim 3$) ラジカルよりも圧倒的に密度が高い、親ガス CF_4 (ラジカル密度の $10^2 \sim 10^3$ 倍) と気相中で、式(3.1)～(3.4) に示す反応割合の増加が考えられる。

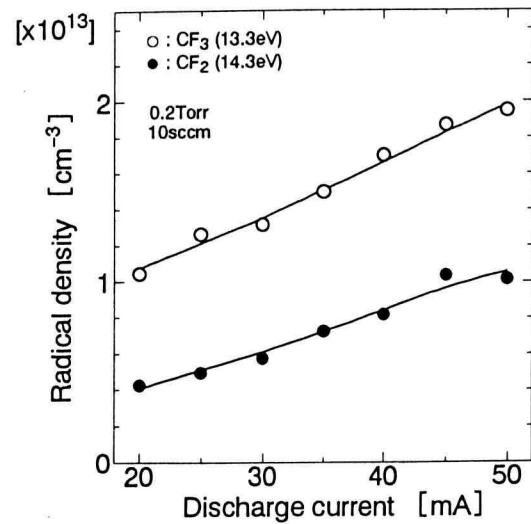
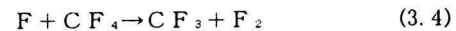
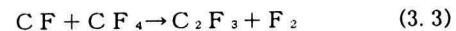
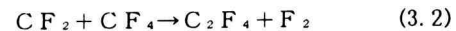


Fig.4. Discharge current dependence of CF_3 and CF_2 radical densities in a HCD CF_4 plasma.



そこで再結合で生成される F_2 , C_2F_5 , C_2F_4 の QMS 信号を測定した結果、 CF_4 壓力とともにいすれも増加した。このことから、 CF_2 ラジカルが圧力の増加とともに減少するのは、式(3.2)の再結合過程によるものと考えられる。これに対して CF_3 ラジカルが増加するのは、プラズマ中では F ラジカルの量がかなり多く、気相中で式(3.1)の再

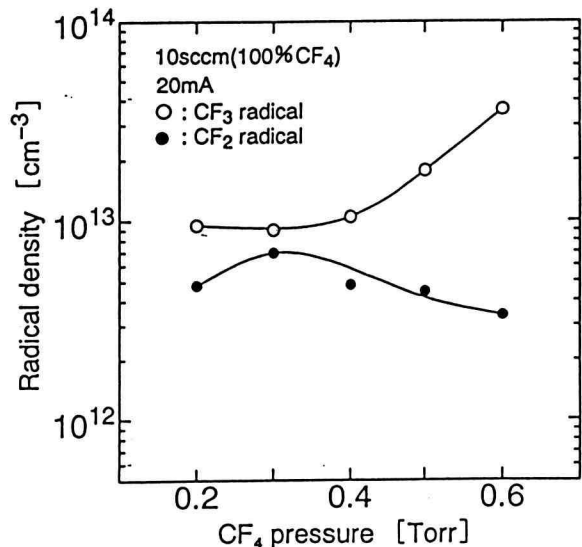


Fig.5. CF_4 pressure dependence of CF_3 and CF_2 radical densities in a HCD CF_4 plasma.

結合過程よりも式(3.4)の再結合過程の割合が大きくなるためと考えられる。

ホローカソード直流放電で得られたラジカル密度と以前に報告した陽光柱直流グロー放電中で得られたもの⁹⁾と比較すると、CF₃、CF₂ラジカル密度とも3~4倍増加する。また測定条件、チャンバーなど異なるため、rf放電でのデータと比較することは困難であるが、rf放電のもの⁸⁾よりラジカル密度は3~4倍増加している。

4. あとがき

ホローカソード放電を利用することにより、ラジカルリッチなプラズマを生成できることがわかった。これにより、ホローカソードプラズマはラジカルの生成源として有用であり、そしてプラズマエッチングとしても役立つものと思われる。さらに、ホローカソード放電では、高いエネルギー電子を多く含むため、イオンも豊富であることから等方性エッチングだけでなく、異方性エッチングにも適用できる可能性があると考えられる。

終りに実験に従事した当研究室の平成8、9年度卒業研究生の諸君に対し感謝の意を表する。

参考文献

- 1) For example, J. P. Booth, G. Hancock, N. D. Perry and M. J. Toogood: J. Appl. Phys. **66** (1989) 5251.
- 2) T. Arai, M. Goto, D. Takayama, T. Shimizu and M. Murakami: Jpn. J. Appl. Phys. **33** (1994) 4170.
- 3) T. Arai, M. Goto, D. Takayama, T. Shimizu, M. Murakami, K. Horikoshi, H. Fujioka: Jpn. J. Appl. Phys **34** (1995) L1392.
- 4) M. Murakami, K. Horikoshi, H. Fujioka, M. Goto and T. Arai: Proceeding of 8th Symposium on Plasma Sience for Materials, University of Tokyo, (1995) 1.
- 5) M. Magame, N. Itabashi, N. Nishiwaki, T. Goto, C. Yamada and E. Hirota: Jpn. J. Appl. Phys. **29** (1990) L829.
- 6) Y. Hikosaka, H. Toyoda and H. Sugai: Jpn. J. Appl. Phys. **32** (1993) L353.
- 7) T. Nakano and H. Sugai: Jpn. J. Appl. Phys. **31** (1992) 2919.
- 8) A.S.Brodin and Yu.M.Kagan: Sov.Phys.Tech. **11**(1966) 131.
- 9) H.Fujioka, M.Murakami,M.Goto and T.Arai: Proc.3rd. APCPST(1996)197.
- 10) K. Stephan, H. Deutsch and T. D. Mark: J. Chem. Phys. **83** (1985) 5712.
- 11) V. Tarnovsky and K. Becker: J. Chem. Phys. **98** (1993) 7868.